

Основы динамики твёрдого тела

Динамика твёрдого тела и систем тел

Юдинцев В. В.

Кафедра теоретической механики

11 октября 2023 г.



САМАРСКИЙ УНИВЕРСИТЕТ
SAMARA UNIVERSITY

Тензор инерции твёрдого тела

Кинетический момент твёрдого тела [3]

Кинетический момент твёрдого тела относительно полюса O :

$$\mathbf{L}_O = \int_m \mathbf{r} \times \dot{\mathbf{r}} dm \quad (1)$$

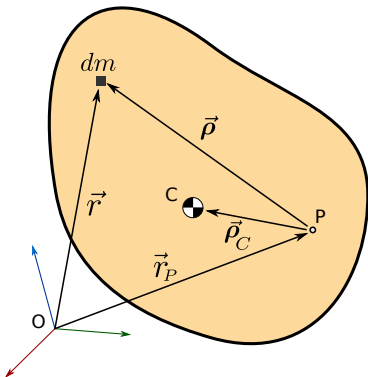
где \mathbf{r} – радиус-вектор положения элемента dm относительно полюса O :

$$\mathbf{r} = \mathbf{r}_P + \boldsymbol{\rho}. \quad (2)$$

Скорость

$$\dot{\mathbf{r}} = \mathbf{v}_P + \boldsymbol{\omega} \times \boldsymbol{\rho}. \quad (3)$$

где $\boldsymbol{\omega}$ – вектор угловой скорости тела.



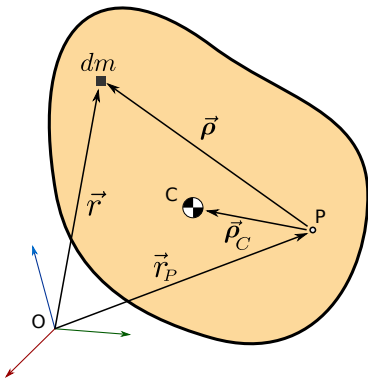
Кинетический момент твёрдого тела

После подстановки (2) и (3) в (1):

$$\begin{aligned} \mathbf{L}_O &= \int_m (\mathbf{r}_P + \boldsymbol{\rho}) \times (\mathbf{v}_P + \boldsymbol{\omega} \times \boldsymbol{\rho}) dm = \\ &= \mathbf{r}_P \times (\mathbf{v}_P + \boldsymbol{\omega} \times \boldsymbol{\rho}_C) m + \boldsymbol{\rho}_C \times \mathbf{v}_P m + \\ &\quad + \int_m \boldsymbol{\rho} \times (\boldsymbol{\omega} \times \boldsymbol{\rho}) dm. \quad (4) \end{aligned}$$

В (4) использовалось определение центра масс системы:

$$\int_m \boldsymbol{\rho} dm = m \boldsymbol{\rho}_C. \quad (5)$$



Кинетический момент твёрдого тела

Последнее слагаемое под интегралом содержит вектор угловой скорости, не зависящий от распределения массы внутри тела (это распределение определяет вектор ρ)

$$\mathbf{L}_O = \mathbf{r}_P \times (\mathbf{v}_P + \boldsymbol{\omega} \times \boldsymbol{\rho}_C)m + \boldsymbol{\rho}_C \times \mathbf{v}_P m + \boxed{\int_m \boldsymbol{\rho} \times (\boldsymbol{\omega} \times \boldsymbol{\rho}) dm} \quad (6)$$

После преобразования двойного векторного произведения:

$$\vec{a} \times (\vec{b} \times \vec{c}) = \vec{b}(\vec{a} \cdot \vec{c}) - \vec{c}(\vec{a} \cdot \vec{b}) = \underbrace{(\mathbf{E} \vec{a} \cdot \vec{c} - \vec{c} \vec{a})}_{\text{тензор}} \cdot \vec{b}, \quad (7)$$

последнее слагаемое в выражении (6) принимает вид:

$$\boxed{\int_m \boldsymbol{\rho} \times (\boldsymbol{\omega} \times \boldsymbol{\rho}) dm} = \int_m (\mathbf{E} \underbrace{\boldsymbol{\rho} \cdot \boldsymbol{\rho}}_{\text{ск. пр.}} - \underbrace{\boldsymbol{\rho} \boldsymbol{\rho}}_{\text{диадное произв.}}) dm \cdot \boldsymbol{\omega}. \quad (8)$$

Скалярное и диадное произведение

Координатная форма

Скалярное произведение

$$\mathbf{a}^T \mathbf{b} = \begin{bmatrix} a_x & a_y & a_z \end{bmatrix} \begin{bmatrix} b_x \\ b_y \\ b_z \end{bmatrix} = a_x b_x + a_y b_y + a_z b_z. \quad (9)$$

Диадное произведение

$$\mathbf{a} \mathbf{b}^T = \begin{bmatrix} a_x \\ a_y \\ a_z \end{bmatrix} \begin{bmatrix} b_x & b_y & b_z \end{bmatrix} = \begin{bmatrix} a_x b_x & a_x b_y & a_x b_z \\ a_y b_x & a_y b_y & a_y b_z \\ a_z b_x & a_z b_y & a_z b_z \end{bmatrix} \quad (10)$$

Тензор инерции

$$\boxed{\int_m \boldsymbol{\rho} \times (\boldsymbol{\omega} \times \boldsymbol{\rho})} = \int_m (\underbrace{\mathbf{E} \boldsymbol{\rho} \cdot \boldsymbol{\rho}}_{\text{ск. пр.}} - \underbrace{\boldsymbol{\rho} \boldsymbol{\rho}}_{\text{диадное произв.}}) dm \cdot \boldsymbol{\omega}. \quad (11)$$

Выражение перед угловой скоростью представляет собой **тензор инерции твёрдого тела**:

$$\boxed{\mathbf{J}_P = \int_m (\mathbf{E} \boldsymbol{\rho} \cdot \boldsymbol{\rho} - \boldsymbol{\rho} \boldsymbol{\rho}) dm} \quad (12)$$

Интегрирование проводится по всему объему тела.

Пример

Тензор инерции цилиндра относительно системы координат, расположенной в центре масс. Продольная ось цилиндра - ось Cz . Координатный столбец элементарной массы dm :

$$\boldsymbol{\rho} = \begin{bmatrix} r \cos \varphi \\ r \sin \varphi \\ z \end{bmatrix}$$

Для цилиндра массы m радиуса R и высотой h :

$$dm = \frac{m}{\pi R^2 h} r d\varphi dr dz$$

Тензор инерции

$$\mathbf{J}_C = \int_{-h/2}^{h/2} \int_0^R \int_0^{2\pi} (\mathbf{E} \boldsymbol{\rho}^T \boldsymbol{\rho} - \boldsymbol{\rho} \boldsymbol{\rho}^T) \frac{m}{\pi R^2 h} r d\varphi dr dz$$

Пример. MATLAB

```
% Объявляем символьные переменные
% Необходим пакет Symbolic Math Toolbox
syms r phi z h R m;
% Вектор-столбец элемента dm
rho = [r*cos(phi); r*sin(phi); z];
% Элемент dm без дифференциалов dphi, dr, dz
dm = m/(h*pi*R^2)*r;
% Подинтегральное выражение
expr = (eye(3)*(rho'*rho)-rho*rho')*dm;
% Интеграл по объему
J = int( int( int(expr, z,-h/2,h/2), phi,0,2*pi), r,0,R)
>>
J =
[(m*(3*R^2 + h^2))/12, 0, 0]
[ 0, (m*(3*R^2 + h^2))/12, 0]
[ 0, 0, (R^2*m)/2]
>> R=1; h=1; m=1;
>> eval(J)
    0.3333    0    0
    0    0.3333    0
    0    0    0.5000
```

Элементы тензора инерции

Тензор инерции в выбранном базисе есть **симметричная матрица**:

$$\mathbf{J} = \begin{bmatrix} J_{11} & J_{12} & J_{13} \\ J_{21} & J_{22} & J_{23} \\ J_{31} & J_{32} & J_{33} \end{bmatrix}$$

элементы которой определяются следующим образом:

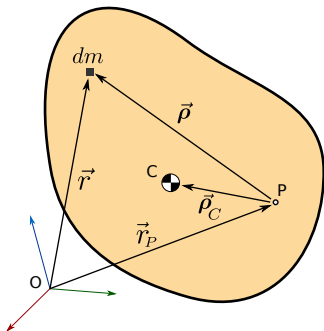
$$\begin{aligned} J_{11} &= \sum_i m_i (y_i^2 + z_i^2), & J_{12} &= J_{21} = -\sum_i m_i x_i y_i, \\ J_{22} &= \sum_i m_i (z_i^2 + x_i^2), & J_{23} &= J_{32} = -\sum_i m_i y_i z_i, \\ J_{33} &= \sum_i m_i (x_i^2 + y_i^2), & J_{31} &= J_{13} = -\sum_i m_i z_i x_i \end{aligned}$$

Внедиагональные элементы тензора называются **центробежными моментами инерции**.

Момент количества движения

Момент количества движения относительно полюса O :

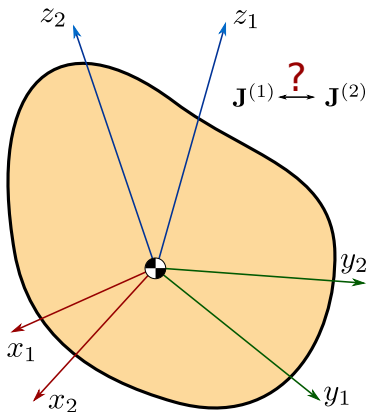
$$\mathbf{L}_O = \mathbf{r}_P \times (\mathbf{v}_P + \boldsymbol{\omega} \times \boldsymbol{\rho}_C)m + \boldsymbol{\rho}_C \times \mathbf{v}_P m + \mathbf{J}_P \cdot \boldsymbol{\omega} \quad (13)$$



Если полюс P совпадает с центром масс тела:

$$\mathbf{L}_O = \mathbf{r}_P \times \mathbf{v}_P m + \mathbf{J}_P \cdot \boldsymbol{\omega} \quad (14)$$

Ортогональное преобразование тензора инерции



- При повороте базиса изменяются координаты вектора

$$\mathbf{r}^{(1)} = \mathbf{A}^{12} \mathbf{r}^{(2)}. \quad (15)$$

- Как меняются компоненты тензора инерции?

$$\mathbf{J}^{(1)} = ??? \mathbf{J}^{(2)} ???$$

Ортогональное преобразование тензора инерции

- Выражение для тензора инерции в базисе 1:

$$\mathbf{J}_O^{(1)} = \int_m (\mathbf{E}(\mathbf{r}^{(1)})^T \mathbf{r}^{(1)} - \mathbf{r}^{(1)}(\mathbf{r}^{(1)})^T) dm \quad (16)$$

- Подставим $\mathbf{r}^{(1)} = \mathbf{A}^{12} \mathbf{r}^{(2)}$ в выражение для тензора инерции (16):

$$\begin{aligned} \mathbf{J}_O^{(1)} &= \int_m (\mathbf{E} \mathbf{r}^{(2)T} (\mathbf{A}^{12})^T \mathbf{A}^{12} \mathbf{r}^{(2)} - \mathbf{A}^{12} \mathbf{r}^{(2)} \mathbf{r}^{(2)T} (\mathbf{A}^{12})^T) dm = \\ &= \mathbf{A}^{12} \mathbf{J}_O^{(2)} (\mathbf{A}^{12})^T. \end{aligned}$$

Ортогональное преобразование тензора инерции

- Выражение для тензора инерции в базисе 1:

$$\mathbf{J}_O^{(1)} = \int_m (\mathbf{E}(\mathbf{r}^{(1)})^T \mathbf{r}^{(1)} - \mathbf{r}^{(1)}(\mathbf{r}^{(1)})^T) dm \quad (16)$$

- Подставим $\mathbf{r}^{(1)} = \mathbf{A}^{12} \mathbf{r}^{(2)}$ в выражение для тензора инерции (16):

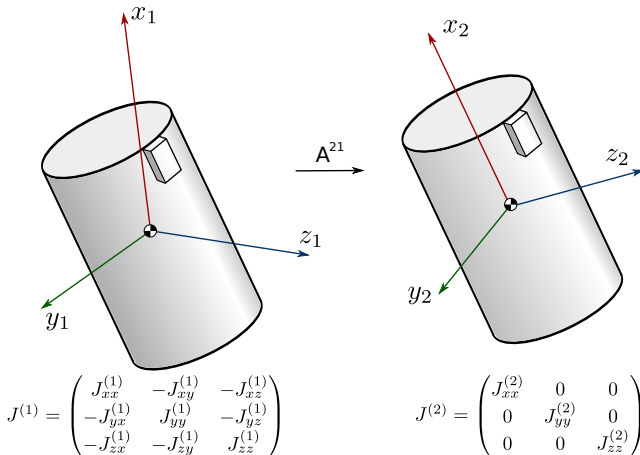
$$\begin{aligned} \mathbf{J}_O^{(1)} &= \int_m (\mathbf{E} \mathbf{r}^{(2)T} (\mathbf{A}^{12})^T \mathbf{A}^{12} \mathbf{r}^{(2)} - \mathbf{A}^{12} \mathbf{r}^{(2)} \mathbf{r}^{(2)T} (\mathbf{A}^{12})^T) dm = \\ &= \mathbf{A}^{12} \mathbf{J}_O^{(2)} (\mathbf{A}^{12})^T. \end{aligned}$$

- Правило преобразования тензора инерции

$$\mathbf{J}_O^{(1)} = \mathbf{A}^{12} \mathbf{J}_O^{(2)} (\mathbf{A}^{12})^T = \mathbf{A}^{12} \mathbf{J}_O^{(2)} \mathbf{A}^{21}$$

Главные оси инерции

Для любого тензора инерции можно найти базис, в котором все центробежные моменты инерции равны нулю.



Главные оси инерции

$$\mathbf{J}^{(2)} = \begin{pmatrix} J_{xx}^{(2)} & 0 & 0 \\ 0 & J_{yy}^{(2)} & 0 \\ 0 & 0 & J_{zz}^{(2)} \end{pmatrix}$$

- Оси базиса в котором центробежные моменты инерции равны нулю называются **главными осями инерции**
- Диагональные элементы тензора $J_{xx}^{(2)}, J_{yy}^{(2)}, J_{zz}^{(2)}$ – **главные моменты инерции**.

Главные оси инерции

$$\mathbf{J}^{(2)} = \begin{pmatrix} J_{xx}^{(2)} & 0 & 0 \\ 0 & J_{yy}^{(2)} & 0 \\ 0 & 0 & J_{zz}^{(2)} \end{pmatrix}$$

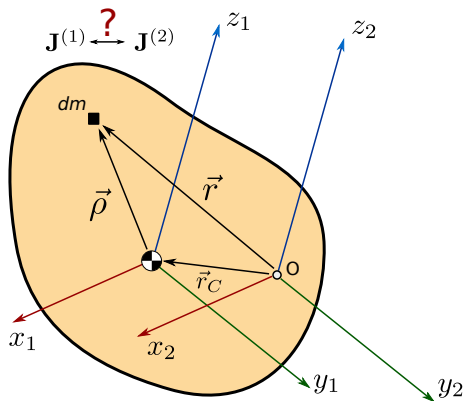
- Для определения главных моментов инерции необходимо найти собственные числа и векторы тензора инерции:

$$(\mathbf{J}^{(2)} - J_{\alpha} \mathbf{E}) \mathbf{A}_{\alpha}^{21} = 0 \quad (17)$$

- Собственные числа и будут являться главными моментами инерции J_{α} , а собственные векторы \mathbf{A}_{α}^{21} будут определять направление главных осей инерции.

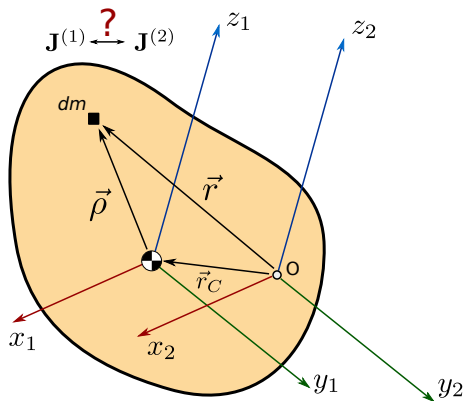
$$\det(\mathbf{J}^{(2)} - J_{\alpha} \mathbf{E}) = 0 \rightarrow J_{\alpha} = \dots \quad (18)$$

Параллельный перенос базиса



- Пусть в исходном положении полюс совпадал с центром масс C твёрдого тела, где находится неподвижный базис $Cx_1y_1z_1$.
- Найдем координаты тензора инерции в новом базисе $Ox_2y_2z_2$, который смещён относительно исходного базиса на вектор $\vec{r}_O = -\vec{r}_C$.

Параллельный перенос базиса



$$\mathbf{J}_C = \int_m (\rho^2 \mathbf{E} - \boldsymbol{\rho} \boldsymbol{\rho}) dm \quad (19)$$

$$\mathbf{J}_O = \int_m (\mathbf{r}^2 \mathbf{E} - \mathbf{r} \mathbf{r}) dm \quad (20)$$

$$\mathbf{r} = \mathbf{r}_C + \boldsymbol{\rho} \quad (21)$$

Параллельный перенос базиса

Учитывая, что $\int_m \boldsymbol{\rho} dm = 0$:

$$\begin{aligned}\mathbf{J}_O &= \int_m [(\mathbf{r}_c + \boldsymbol{\rho})^2 \mathbf{E} - (\mathbf{r}_c + \boldsymbol{\rho})(\mathbf{r}_c + \boldsymbol{\rho})] dm = \\ &= \int_m [(\mathbf{r}_c^2 + \boldsymbol{\rho}^2) \mathbf{E} - (\mathbf{r}_c \mathbf{r}_c + \boldsymbol{\rho} \boldsymbol{\rho})] dm = \\ &= \mathbf{J}_C + (\mathbf{r}_c^2 \mathbf{E} - \mathbf{r}_c \mathbf{r}_c) m. \quad (22)\end{aligned}$$

В координатной форме:

$$\boxed{\mathbf{J}_O = \mathbf{J}_C + (\mathbf{r}_c^T \mathbf{r}_c \mathbf{E} - \mathbf{r}_c \mathbf{r}_c^T) m} \quad (23)$$

Формулы для элементов тензора инерции

Элементы тензора инерции в новом базисе определяются следующим образом:

$$J_{\alpha\alpha}^O = J_{\alpha\alpha}^C + (r_{C\beta}^2 + r_{C\gamma}^2)m,$$

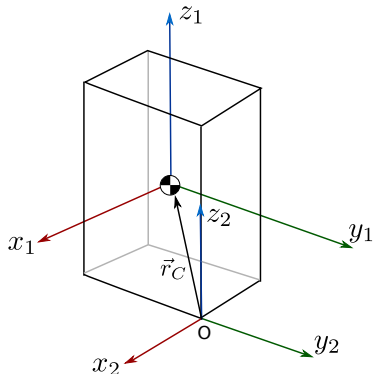
$$J_{\alpha\beta}^O = J_{\alpha\beta}^C + r_{C\alpha}r_{C\beta}m,$$

α, β, γ — различные

Пример:

$$J_{xx}^O = J_{xx}^C + (y_C^2 + z_C^2)m$$

Пример (MATLAB)



```
>> J1=[3 0 0; 0 2 0; 0 0 1] ;  
>> m=2;  
>> rc=[-0.5;-1;2];  
>> J1 + (rc'*rc*eye(3)-rc*rc')*m  
ans =  
13.0000    -1.0000     2.0000  
-1.0000    10.5000     4.0000  
2.0000     4.0000     3.5000
```

Инварианты и неравенства для моментов инерции

Коэффициенты уравнения $\det(\mathbf{J}^{(2)} - J_\alpha \mathbf{E}) = 0$

Уравнение $\det(\mathbf{J}^{(2)} - J_\alpha \mathbf{E}) = 0$ кубическое:

$$\begin{aligned} & -J_\alpha^3 + (J_{11} + J_{22} + J_{33})J_\alpha^2 + \\ & + (J_{12}^2 + J_{13}^2 + J_{23}^2 - J_{11}J_{22} - J_{11}J_{33} - J_{22}J_{33})J_\alpha - \\ & - J_{11}J_{23}^2 - J_{13}^2J_{22} - 2J_{12}J_{13}J_{23} - J_{12}^2J_{33} + J_{11}J_{22}J_{33} = 0. \end{aligned} \quad (24)$$

Коэффициенты уравнения (24) не зависят от ориентации **исходного** базиса, так как от этого не зависят и главные моменты инерции (решение уравнения не зависят от исходного базиса), следовательно

$$\text{tr } \mathbf{J} = J_{11} + J_{22} + J_{33} = J_1 + J_2 + J_3$$

$$(J_{11}J_{22} - J_{12}^2) + (J_{22}J_{33} - J_{23}^2) + (J_{33}J_{11} - J_{31}^2) = J_1J_2 + J_2J_3 + J_3J_1$$

$$\det \mathbf{J} = J_{11}J_{22}J_{33} - J_{11}J_{23}^2 - J_{22}J_{31}^2 - J_{33}J_{12}^2 - 2J_{12}J_{23}J_{31} = J_1J_2J_3$$

Неравенства для моментов инерции

Поскольку $J_\alpha \geq 0$, должны выполняться следующие условия (критерий Сильвестра):

- Неотрицательность диагональных элементов

$$J_{\alpha\alpha} \geq 0 \quad (25)$$

- Неотрицательность определителя

$$\det J \geq 0 \quad (26)$$

- Неотрицательность миноров второго порядка

$$J_{\alpha\alpha}J_{\beta\beta} - J_{\alpha\beta}^2 \geq 0, \quad \alpha, \beta = 1, 2, 3; \quad \alpha \neq \beta \quad (27)$$

Неравенства для моментов инерции

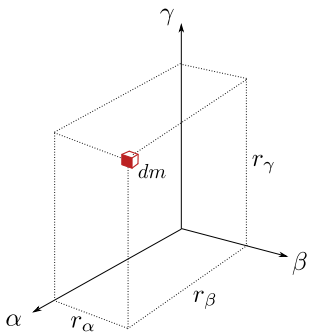
- Из определения моментов инерции:

$$\begin{aligned} J_{\alpha\alpha} + J_{\beta\beta} &= \int_m (r_\alpha^2 + r_\beta^2 + 2r_\gamma^2) dm = \\ &= J_{\gamma\gamma} + 2 \int_m r_\gamma^2 dm \Rightarrow \end{aligned}$$

$$\boxed{J_{\alpha\alpha} + J_{\beta\beta} \geq J_{\gamma\gamma}} \quad (28)$$

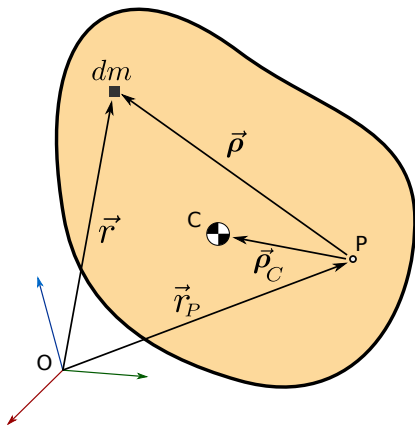
- Т.к. $(r_\beta \pm r_\gamma)^2 \geq 0 \Rightarrow r_\beta^2 + r_\gamma^2 \geq 2|r_\beta r_\gamma| \Rightarrow$

$$\boxed{J_{\alpha\alpha} \geq 2|J_{\beta\gamma}|, \alpha, \beta, \gamma - \text{различные}} \quad (29)$$



Теорема об изменении момента количества движения

Теорема об изменении момента количества движения



$$\dot{\mathbf{L}}_O = \mathbf{M}_O \quad (30)$$

$$\mathbf{L}_O = \int_m \mathbf{r} \times \dot{\mathbf{r}} dm \quad (31)$$

$$\dot{\mathbf{L}}_O = \int_m \mathbf{r} \times \ddot{\mathbf{r}} dm \quad (32)$$

$$\mathbf{r} = \mathbf{r}_P + \boldsymbol{\rho}, \quad (33)$$

$$\ddot{\mathbf{r}} = \ddot{\mathbf{r}}_P + \dot{\boldsymbol{\omega}} \times \boldsymbol{\rho} + \boldsymbol{\omega} \times (\boldsymbol{\omega} \times \boldsymbol{\rho}) \quad (34)$$

Производная кинетического момента

$$\begin{aligned}\dot{\mathbf{L}}_O &= \int_m (\mathbf{r}_P + \boldsymbol{\rho}) \times [\ddot{\mathbf{r}}_P + \dot{\boldsymbol{\omega}} \times \boldsymbol{\rho} + \boldsymbol{\omega} \times (\boldsymbol{\omega} \times \boldsymbol{\rho})] dm = \\ &= m(\mathbf{r}_P \times \underbrace{[\ddot{\mathbf{r}}_P + \dot{\boldsymbol{\omega}} \times \boldsymbol{\rho}_C + \boldsymbol{\omega} \times (\boldsymbol{\omega} \times \boldsymbol{\rho}_C)]}_{\ddot{\mathbf{r}}_C} + \boldsymbol{\rho}_C \times \ddot{\mathbf{r}}_P) + \\ &\quad + \underbrace{\int_m \boldsymbol{\rho} \times (\dot{\boldsymbol{\omega}} \times \boldsymbol{\rho}) dm}_{\mathbf{J}^P \cdot \dot{\boldsymbol{\omega}}} + \underbrace{\int_m \underbrace{\boldsymbol{\rho} \times (\boldsymbol{\omega} \times (\boldsymbol{\omega} \times \boldsymbol{\rho}))}_{\boldsymbol{\omega} \times (\boldsymbol{\rho} \times (\boldsymbol{\omega} \times \boldsymbol{\rho}))} dm}_{\boldsymbol{\omega} \times \mathbf{J}^P \cdot \boldsymbol{\omega}} \quad (35)\end{aligned}$$

$$\dot{\mathbf{L}}_O = m(\mathbf{r}_P \times \ddot{\mathbf{r}}_C + \boldsymbol{\rho}_C \times \ddot{\mathbf{r}}_P) + \mathbf{J}^P \cdot \dot{\boldsymbol{\omega}} + \boldsymbol{\omega} \times \mathbf{J}^P \cdot \boldsymbol{\omega} \quad (36)$$

$$\dot{\mathbf{L}}_O = m(\mathbf{r}_P \times \ddot{\mathbf{r}}_C + \boldsymbol{\rho}_C \times \ddot{\mathbf{r}}_P) + \mathbf{J}^P \cdot \dot{\boldsymbol{\omega}} + \boldsymbol{\omega} \times \mathbf{J}^P \cdot \boldsymbol{\omega}$$

Учитывая правило приведения силы к новому центру

$$\mathbf{M}_O = \mathbf{M}_P + \mathbf{r}_P \times \mathbf{F} \quad (37)$$

и теорему о движении центра масс системы:

$$m\ddot{\mathbf{r}}_C = \mathbf{F} \quad (38)$$

Теорема об изменении кинетического момента абсолютно твёрдого тела принимает вид:

$$m\boldsymbol{\rho}_C \times \ddot{\mathbf{r}}_P + \mathbf{J}_P \cdot \dot{\boldsymbol{\omega}} + \boldsymbol{\omega} \times \mathbf{J}^P \cdot \boldsymbol{\omega} = \mathbf{M}_P \quad (39)$$

Если полюс P совпадает с центром масс C :

$$\boxed{\mathbf{J}_P \cdot \dot{\boldsymbol{\omega}} + \boldsymbol{\omega} \times \mathbf{J}_P \cdot \boldsymbol{\omega} = \mathbf{M}^P} \quad (40)$$

В проекциях на оси главной центральной системы координат, уравнение принимает вид:

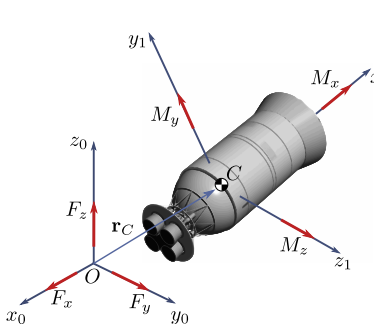
$$J_1 \dot{\omega}_1 - (J_2 - J_3) \omega_2 \omega_3 = M_1, \quad (41)$$

$$J_2 \dot{\omega}_2 - (J_3 - J_1) \omega_3 \omega_1 = M_2, \quad (42)$$

$$J_3 \dot{\omega}_3 - (J_1 - J_2) \omega_1 \omega_2 = M_3. \quad (43)$$

Уравнения движения

Динамические уравнения движения тела вокруг центра масс:



The diagram shows a rigid body (a cylinder) with its center of mass at point C. Two coordinate systems are shown: a fixed system $Ox_0y_0z_0$ with origin O, and a body-fixed system $Cx_1y_1z_1$ with origin C. The position vector \mathbf{r}_C connects O and C. At origin O, force components F_x , F_y , and F_z are shown along the x_0 , y_0 , and z_0 axes respectively. At origin C, moment components M_x , M_y , and M_z are shown along the x_1 , y_1 , and z_1 axes respectively.

$$\begin{cases} J_x^{(1)} \dot{\omega}_x^{(1)} - (J_y^{(1)} - J_z^{(1)}) \omega_y^{(1)} \omega_z^{(1)} = M_x^{(1)}, \\ J_y^{(1)} \dot{\omega}_y^{(1)} - (J_z^{(1)} - J_x^{(1)}) \omega_z^{(1)} \omega_x^{(1)} = M_y^{(1)}, \\ J_z^{(1)} \dot{\omega}_z^{(1)} - (J_x^{(1)} - J_y^{(1)}) \omega_x^{(1)} \omega_y^{(1)} = M_z^{(1)}. \end{cases}$$

Уравнения движения центра масс:

$$\begin{cases} m\ddot{x}^{(0)} = F_x^{(0)}, \\ m\ddot{y}^{(0)} = F_y^{(0)}, \\ m\ddot{z}^{(0)} = F_z^{(0)}. \end{cases}$$




Кинематические уравнения

- Для определения ориентации твёрдого тела уравнения движения интегрируют совместно и кинематическими уравнениями.
- Если для определения ориентации тела используются углы Эйлера, то кинематические уравнения будут иметь вид:

$$\begin{cases} \dot{\psi} &= \frac{\sin \varphi}{\sin \vartheta} \omega_x + \frac{\cos \varphi}{\sin \vartheta} \omega_y, \\ \dot{\vartheta} &= \omega_x \cos \varphi - \omega_y \sin \varphi, \\ \dot{\varphi} &= -\omega_x \sin \varphi \operatorname{ctg} \vartheta - \omega_y \cos \varphi \operatorname{ctg} \vartheta + \omega_z, \end{cases} \quad (44)$$

где ψ , ϑ , φ – углы Эйлера, определяющие ориентацию базиса $Ox_1y_1z_1$ относительно $Ox_0y_0z_0$.

Список использованных источников

-  Журавлев, В. Ф. Основы теоретической механики. М: Издательство физико-математической литературы. 2001.
-  Бранец, В. Н., Шмыглевский, И. П. Применение кватернионов в задачах ориентации твердого тела. Москва: Наука. 1973.
-  Виттенбург, Й. Динамика систем твердых тел. М.: Мир. 1980.